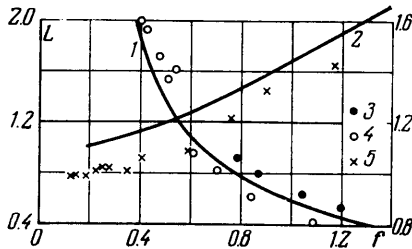
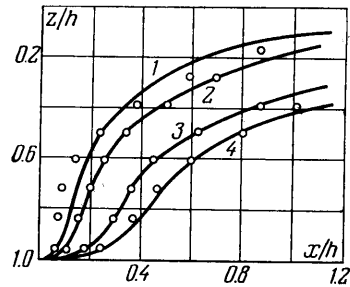


ница каверны в вертикальной плоскости (кривые 1-4), соответствующая $f=1.81, 1.43, 0.94$ и 0.76 . Для других удлинений получаются аналогичные зависимости.

На фиг. 2 приведены также экспериментальные значения длины каверны в среднем по высоте сечений (данные 3 - стойка 1, $h=280$ мм, $a=35$ мм, $\alpha=0.094$; 4 - стойка 2 $h=160$ мм, $a=20$ мм, $\alpha=0.156$). Данные 5 на фиг. 2 соответствуют коэффициенту остаточного сопротивления стойки 3 ($h=240$ мм, $a=30$ мм, $\alpha=0.183$). Коэффициент остаточного сопротивления, как обычно, определяется вычитанием из коэффициента полного сопротивления коэффициента трения технически гладкой



Фиг. 2



Фиг. 3

пластины. При эксперименте числа Рейнольдса по ширине стойки составляли $(1-5) \cdot 10^5$. Развитие каверны с ростом скорости по экспериментальным данным показано на примере стойки 2 (точки на фиг. 3). Кривая 1 соответствует начальной стадии прорыва воздуха к нижнему концу стойки. Для кривых 1-4 были получены следующие экспериментальные значения $f=2.10, 1.64, 1.04$ и 0.87 . Приведенные на фиг. 2 и 3 данные свидетельствуют об удовлетворительном соответствии результатов расчета и эксперимента.

Поступила 16 V 1975

ЛИТЕРАТУРА

1. Эпштейн Л. А. Методы теории размерностей и подобия в задачах гидромеханики судов. Л., «Судостроение», 1970.
2. Бугузов А. А. О предельных параметрах искусственной каверны, образуемой на нижней поверхности горизонтальной стенки. Изв. АН СССР, МЖГ, 1966, № 2.
3. Костюков А. А. Теория корабельных волн и волнового сопротивления. Л., Судпромгиз, 1959.

УДК 532.529.5:532.59

О ВОЛНАХ В СМЕСИ ЖИДКОСТИ С ПУЗЫРЬКАМИ ГАЗА

С. С. БИШАЙ ХАННА

(Москва)

Рассматривается одномерное нестационарное движение смеси идеальной несжимаемой жидкости с пузырьками газа в трубе за движущимся поршнем. Получено точное решение. Изучается распространение ударных волн.

1. Введение. Наличие мелких пузырьков в жидкости сильно изменяет ее структуру. Несжимаемая жидкость с пузырьками газа может рассматриваться как сжимаемая среда с внутренними параметрами. В работе [1] предложена модель для изучения такой среды с одним внутренним параметром R (радиус пузырьков), уравнения состояния которой

$$(1.1) \quad p = p_n - \rho_0 \left[R \frac{d^2 R}{dt^2} + \frac{3}{2} \left(\frac{dR}{dt} \right)^2 \right], \quad \rho = \frac{\rho_0}{1 + b(R^3 - R_0^3)}, \quad b = \frac{4}{3} \pi \rho_0$$

Здесь n - число пузырьков в единице массы, которое считается постоянным, и p_n - давление газа внутри пузырьков, которое считается постоянным внутри пузырька. Смесь считается сжимаемой при $R > R_0$. Поверхностным натяжением пренебрегается.

Здесь рассматривается движение такой среды в трубе с одним закрепленным концом. Обозначим характеристики «начального» предварительного состояния до разрыва кавитации через $R=R_0$, $u=0$, $p=p_1$, $\rho=\rho_0$.

Пользуясь лагранжевой координатой ξ , которая обозначает расстояние от закрепленного конца трубы в начальный момент, напишем уравнения неразрывности и движения в виде

$$(1.2) \quad \frac{\partial}{\partial t} \left(\frac{1}{\rho} \right) - \frac{1}{\rho_0} \frac{\partial u}{\partial \xi} = 0, \quad \frac{\partial u}{\partial t} + \frac{1}{\rho_0} \frac{\partial p}{\partial \xi} = 0$$

Ниже рассматриваются частные точные решения системы уравнений (1.1) и (1.2). Принимается, что давление в пузырьке равно давлению в жидкости не только на границе пузырька, но и в малой окрестности жидкости около пузырька. Это предположение равносильно равенству

$$(1.3) \quad R \frac{\partial^2 R}{\partial t^2} + \frac{3}{2} \left(\frac{\partial R}{\partial t} \right)^2 = 0$$

Далее рассмотрим частное решение этого уравнения

$$(1.4) \quad R_1(\xi, t) = [A(\xi + ct) + B]^{2/3}$$

где A , B , C — постоянные. Из этого решения следует, что фиксированные значения ρ и R распространяются по частицам с постоянной скоростью.

2. **Непрерывные движения.** Можно заметить, что система уравнений (1.1) и (1.2) имеет следующие классы решений.

Первый класс

$$R = R_1(\xi, t), \quad u = bc[R_1^3 - R_1^3(0, t)]$$

$$p = p_n - \rho_0 bc^2 \left[R_1^3 - \frac{6}{5} A \xi R_1^{5/2}(0, t) - R_1^3(0, t) \right]$$

где $A > 0$, $c > 0$, $B^{3/2} \geq R_0$. Это решение удовлетворяет следующим граничным условиям:

$$u = 0, \quad p = p_0(t) \quad (\xi = 0)$$

$$u = V(t) = bc \{ [A(h + ct) + B]^{3/2} - (Act + B)^{3/2} \} \quad (\xi = h)$$

В этом случае вся смесь в трубе является сжимаемой жидкостью, в которой начальные распределения радиусов пузырьков и скоростей имеют вид

$$R(\xi, 0) = (A\xi + B)^{2/3}, \quad u(\xi, 0) = bc \{ (A\xi + B)^{3/2} - B^{3/2} \}$$

Второй класс

$$R = R_1, \quad u = bc[R_1^3 - R_0^3], \quad p = p_n = p_0(t) - \rho_0 bc^2(R_1^3 - R_0^3)$$

где $A > 0$, $c > 0$, $(Al + B)^{3/2} = R_0$, $0 < l < h$. Это решение удовлетворяет уравнениям состояния, неразрывности и движения (1.1) и (1.2) в зоне кавитирующей жидкости $\xi^*(t) < \xi \leq h$, где $R > R_0$. При $\xi^* \geq \xi$ в трубе имеется несжимаемая жидкость в покое. Поверхность раздела между зонами сжимаемой и несжимаемой жидкостей $\xi = \xi^*$ движется в сторону закрепленного конца трубы со скоростью c

$$\frac{d\xi^*}{dt} = -c, \quad \xi^* = l - ct$$

Зона несжимаемой жидкости исчезает через промежуток времени $\tau = l/c$, и жидкость будет везде сжимаемой. В зоне несжимаемой жидкости $R = R_0$, $u = 0$, $p = p_0(t)$, $\rho = \rho_0$ — характеристики движения. Решение удовлетворяет следующим граничным условиям:

$$u = 0, \quad p = p_0(t) \quad (\xi = \xi^*), \quad u = V(t) = bc \{ [A(h + ct) + B]^{3/2} - R_0^3 \}$$

3. **Движение со скачком.** Для изучения движения смеси в трубе за движущимся поршнем возьмем решение системы уравнений (1.1) и (1.2) в виде

$$(3.1) \quad R = R_1, \quad u = T(t) + bcR_1^3$$

$$p = p_n = \pi(t) - \rho_0 \xi \frac{dT}{dt} - \rho_0 bc^2 R_1^3$$

где $T(t)$ и $\pi(t)$ — произвольные функции времени, а A , B , c — произвольные постоянные, которые можно определить из условий задачи.

Рассмотрим поршень в контакте с частицами с лагранжевой координатой $\xi = h$, который движется во внешнюю сторону со скоростью $V(t) > 0$. Предположим, что в смеси имеются следующие начальные распределения радиусов пузырьков и скоростей частиц:

$$R = (A\xi + B)^{1/3}, \quad u_0 = T(0) + bc(A\xi + B)^{1/3},$$

где $A > 0$, $c > 0$, $(Al + B)^{1/3} = R_0$, $0 < l \leq h$. Предположим, что сечение $\xi = \xi^*(t) > (l - ct)$ — поверхность разрыва в момент t и v^* — скорость распространения разрыва, т. е. $v^* = d\xi^*/dt$. Поверхность разрыва $\xi = \xi^*$ — поверхность раздела между несжимаемой жидкостью в зоне $\xi < \xi^*$ и сжимаемой жидкостью при $\xi > \xi^*$. Решение удовлетворяет следующим граничным условиям на поверхности поршня и на поверхности разрыва [2, 3]:

$$(3.2) \quad u = V(t) \quad (\xi = h)$$

$$(3.3) \quad \rho^*(v^* - u^*) = \rho_0 v^*, \quad p^* + \rho^* u^*(u^* - v^*) = p_0$$

где u^* , p^* , ρ^* — характеристики сжимаемой жидкости за поверхностью разрыва ($\xi = \xi^*$), т. е.

$$(3.4) \quad u^* = T(t) + bcR_1^3(\xi^*, t), \quad p = \pi(t) - \rho_0 \xi^* \frac{dT}{dt} - \rho_0 bc^2 R_1^3(\xi^*, t)$$

$$\rho = \frac{\rho_0}{1 + b[R_1^3(\xi^*, t) - R_0^3]}$$

Характеристики несжимаемой жидкости перед поверхностью ($\xi = \xi^*$)

$$R = R_0, \quad u = 0, \quad p = p_0(t), \quad \rho = \rho_0$$

Условие (3.2) дает

$$T(t) = V(t) - bc[A(h + ct) + B]^{1/3}$$

Условия (3.3) определяют неизвестные функции $\xi^*(t)$ и $\pi(t)$. Подставляя выражения (3.4) в первое условие (3.3), получим отношение для $\xi^*(t)$ в виде

$$(3.5) \quad \frac{5b}{11A} \{R_1^{11/2}(\xi^*, t) - R_1^{11/2}(h, t) - R_1^{11/2}(l, 0) + R_1^{11/2}(h, 0)\} +$$

$$+ bR_0^3(l - \xi^*) + \int_0^t V(t) dt = 0$$

Функция $\pi(t)$ может быть определена из второго условия (3.3) в форме

$$(3.6) \quad \pi(t) = p_0(t) + \rho_0 \xi^* \left[\frac{dV}{dt} - \frac{6}{5} bAc^2 R_1^{1/2}(h, t) \right] +$$

$$+ \rho_0 bc^2 R_1^3(\xi^*, t) - \frac{\rho_0 [V(t) + bcR_1^3(\xi^*, t) - bcR_1^3(h, t)]^2}{b [R_1^3(\xi^*, t) - R_0^3]}$$

Таким же образом можно рассмотреть движение смеси жидкости с пузырьками газа за движущимся поршнем, если он движется внутрь.

Во всех рассмотренных выше решениях приток тепла

$$\frac{dq^*}{dt} = c_v \frac{dT}{dt} + 3 \frac{p}{\rho_0} R^2 \dot{R}$$

где c_0 — удельная теплоемкость.

Обсуждаемые выше решения демонстрируют существование волновых решений для движения кавитирующей жидкости, в соответствии с которыми фиксированные значения плотности распространяются с постоянной скоростью. Эти решения показывают возможность распространения ударных волн в кавитирующей жидкости.

Автор благодарит Л. И. Седова за обсуждение и замечания.

Поступила 15 XII 1975

ЛИТЕРАТУРА

1. Когарко Б. С. Об одной модели кавитирующей жидкости. Докл. АН СССР, 1964, т. 137, № 6.
2. Бишай Ханна С. С. О движении жидкости с пузырьками газа. Изв. АН СССР, МЖГ., 1971, № 6.
3. Седов Л. И. Механика сплошной среды, т. 1. М., «Наука», 1973.